

Identificazione e controllo di Processi

Inverted Pendulum on Cart

Aniello Di Donato

A.A 2024/25

Università Degli Studi della Campania "Luigi Vanvitelli"

1. Definizione del problema
2. Modello
3. Identificazione
4. MPC
5. Implementazione MPC

Definizione del problema

Descrizione del sistema

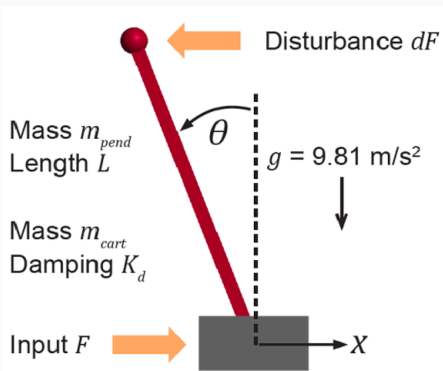


Figure 1: Pendulum on Cart

Parametri

- Massa del carrello $M_{cart} = 1 \text{ [Kg]}$
- Massa del pendolo $m_{pend} = 1 \text{ [Kg]}$
- Gravity $g = 9.81 \text{ [m/s}^2\text{]}$
- Lunghezza pendolo $L_{pend} = 0.5 \text{ [m]}$
- Coefficiente d'attrito del carrello $K_d = 10$

Uscite misurate

- Angolo del pendolo $\theta \text{ [rad]}$
- Posizione del carrello $x \text{ [m]}$

Ingresso di controllo

- Forza applicata al carrello $F \text{ [N]}$

Obiettivi di controllo

Assumendo le seguenti **condizioni iniziali** per il sistema carrello/pendolo :

- Il carrello è stazionario a $x = 0$
- Il pendolo inverso è stazionario nella posizione verticale $\theta = 0$

Gli obiettivi di controllo sono:

- In seguito ad un cambio di set-point:
 - Il carrello può essere mosso in una nuova posizione tra $[-10, 10]$, mantenendo il pendolo nella posizione $\theta = 0$
 - *tempo di salita* $t_s \leq 4 \text{ s}$
 - *sovraelongazione* $S_{\%} \leq 5 \%$
- In risposta ad un disturbo impulsivo applicato al pendolo
 - Il carrello deve ritornare alla sua posizione originaria con uno spostamento massimo di 1 m .
 - Il pendolo deve ritornare nella posizione verticale con uno spostamento massimo di $0.26 \text{ rad} \simeq 15 \text{ deg}$

Modello

Il modello carrello/pendolo è descritto da un set di equazioni non lineari

$$\ddot{\theta} = \frac{1}{L} \left[\ddot{x} \cos\theta + g \sin\theta + \frac{dF}{m} \cos\theta \right]$$
$$\ddot{x} = \frac{1}{M + m \sin^2\theta} \left[-K_d \dot{x} + F - dF - mL\dot{\theta}^2 \sin\theta + mg \sin\theta + dF \cos^2\theta \right]$$

Modello del sistema in spazio di stato

$$\text{Siano } \begin{bmatrix} x_1 \\ x_2 \\ x_3 \\ x_4 \end{bmatrix} = \begin{bmatrix} x \\ \dot{x} \\ \theta \\ \dot{\theta} \end{bmatrix}, \quad u = F, \quad y = \begin{bmatrix} x_1 \\ x_3 \end{bmatrix}, \quad d = dF$$

$$\begin{bmatrix} \dot{x}_1 \\ \dot{x}_2 \\ \dot{x}_3 \\ \dot{x}_4 \end{bmatrix} = \begin{bmatrix} x_2 \\ \frac{1}{M+m \sin^2 \theta} \left[-K_d \dot{x} + F - dF - mL\dot{\theta}^2 \sin \theta + mg \sin \theta + dF \cos^2 \theta \right] \\ x_4 \\ \frac{1}{L} \left(\ddot{x} \cos \theta + g \sin \theta + \frac{dF}{m} \cos \theta \right) \end{bmatrix}$$

Si considera $\bar{y} = [0, 0]$ e il disturbo $dF = 0$.

Si impone:

$$\begin{cases} 0 = x_{e2} \\ 0 = f_c(x_{e1}, x_{e2}, x_{e3}, x_{e4}, 0) \\ 0 = x_{e4} \\ 0 = f_p(x_{e1}, x_{e2}, x_{e3}, x_{e4}, 0) \end{cases}$$

Il **punto di equilibrio** scelto è $\bar{x} = [0, 0, 0, 0]$, il cui $\bar{u} = 0$.

Per procedere all'identificazione é bene accertarsi che il sistema resti stabile intorno allo stato di equilibrio.

Simulazione sistema intorno al punto di equilibrio

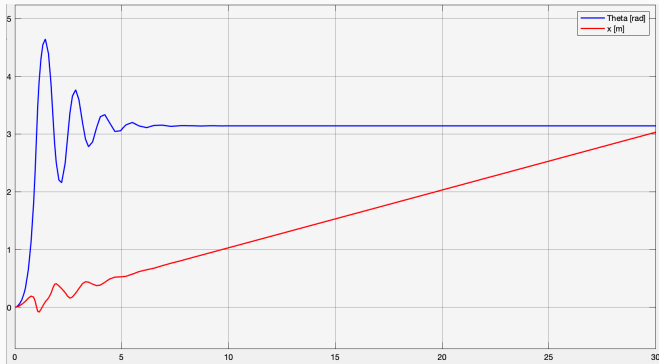


Figure 2: Risposta del sistema ad un ingresso impulsivo

Dato che il sistema non lineare intorno al punto di equilibrio calcolato è **instabile**, si è progettato un controllore per stabilizzare il sistema intorno al punto di equilibrio.

Sistema linearizzato intorno ad un punto di equilibrio

Nell'intorno del punto di equilibrio (\bar{x}, \bar{u}) si valuti il corrispondente sistema linearizzato:

$$\begin{aligned}\dot{x} &= Ax + Bu \\ y &= Cx\end{aligned}$$

dove :

$$\begin{cases} x = \bar{x} + \delta x \\ u = \bar{u} + \delta u \\ y = \bar{y} + \delta y \end{cases}$$

- $[A, B]$ rappresentano le matrici Jacobiane valutate in (\bar{x}, \bar{u})

Sistema linearizzato intorno ad un punto di equilibrio

Nel punto di equilibrio considerato, il sistema linearizzato, così come il sistema non lineare, è **instabile**

$$\begin{bmatrix} \dot{x}_1 \\ \dot{x}_2 \\ \dot{x}_3 \\ \dot{x}_4 \end{bmatrix} = \begin{bmatrix} 0 & 1 & 0 & 0 \\ 0 & -10 & 9.81 & 0 \\ 0 & 0 & 0 & 1 \\ 0 & -20 & 39.24 & 0 \end{bmatrix} + \begin{bmatrix} 0 & 0 \\ 1 & 0 \\ 0 & 0 \\ 2 & 2 \end{bmatrix} \begin{bmatrix} u \\ d \end{bmatrix}$$

$$y = \begin{bmatrix} 1 & 0 & 0 & 0 \\ 0 & 0 & 1 & 0 \end{bmatrix} \begin{bmatrix} x_1 \\ x_2 \\ x_3 \\ x_4 \end{bmatrix}$$

$$c.i. \quad x(0) = \bar{x} + \delta x(0)$$

$$\text{eig}(A) = [0 \quad -11.9 \quad -3.2 \quad 5.1]$$

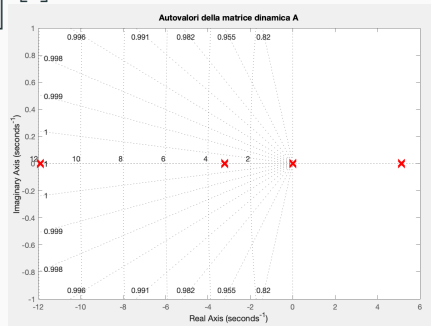


Figure 3: Autovalori matrice dinamica A

Stabilizzazione del sistema

Per effettuare l'Identificazione e progettare poi il controllo MPC, **si è stabilizzato il sistema carrello/pendolo intorno al punto di equilibrio scelto.**

La tecnica di controllo scelta è **LQR + Filtro di Kalmann.**

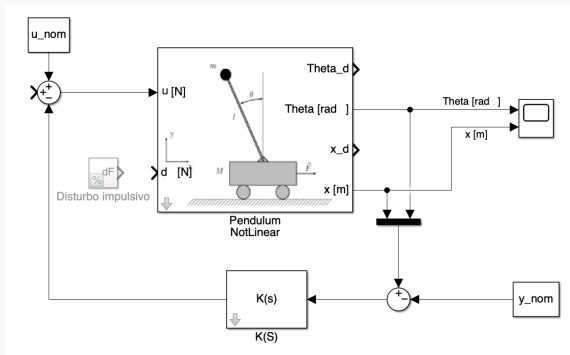


Figure 4: Schema di controllo sistema non lineare + controllore

$$Q_{LQR} = \begin{bmatrix} 10 & 0 & 0 & 0; & 0 & 10 & 0 & 0; & 0 & 0 & 100 & 0; & 0 & 0 & 0 & 20 \end{bmatrix}, R = 1$$

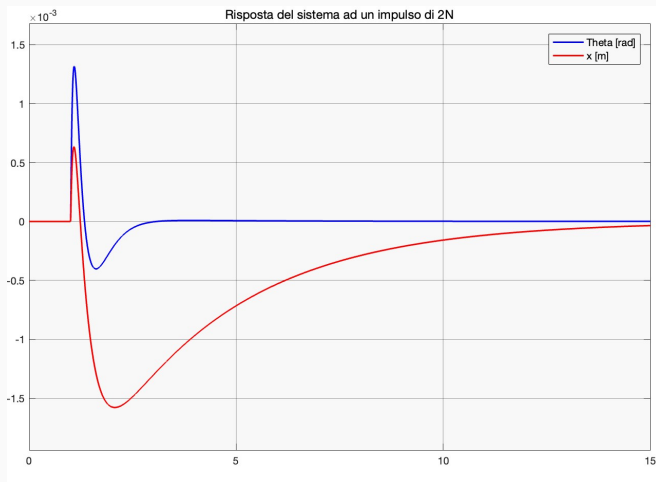


Figure 5: Risposta del sistema con un impulso di 2N applicato al carrello

Simulazione

$$Q_{LQR} = \begin{bmatrix} 10 & 0 & 0 & 0; & 0 & 10 & 0 & 0; & 0 & 0 & 100 & 0; & 0 & 0 & 0 & 20 \end{bmatrix}, R = 1$$

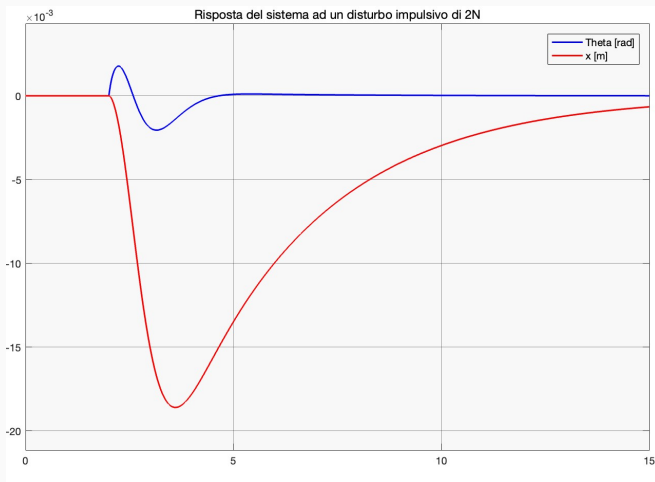


Figure 6: Risposta del sistema con un impulso di 2N applicato al pendolo

Identificazione

Obiettivi identificazione

Il modello complessivo da identificare è il seguente

$$\begin{bmatrix} y_\theta \\ y_x \end{bmatrix} = \begin{bmatrix} G_{u\theta}(s) & G_{d\theta}(s) \\ G_{dx}(s) & G_{dx}(s) \end{bmatrix} \begin{bmatrix} u \\ d \end{bmatrix}$$

che rappresenta il **sistema a ciclo chiuso Pendolo + Controllore**.

Si utilizzano **4 set di dati**:

- $u \rightarrow \theta, x$: contenente i campioni ingresso-uscita ottenuti facendo variare l'ingresso di controllo u e mantenendo il disturbo d al valore di equilibrio.
- $d \rightarrow \theta, x$: contenente i campioni ingresso-uscita ottenuti facendo variare il disturbo d e mantenendo l'ingresso u al valore di equilibrio

Scelta tempo di campionamento T_s

Per la scelta del tempo di campionamento del sistema **si è tenuto conto della dinamica più veloce del sistema**, relativa al movimento del pendolo stabilizzato.

Questo, per campionare le dinamiche del sistema senza **aliasing**.

Si è calcolato il **Tempo di assestamento** T_{ass} al 95% rispetto ad $|y_{max}|$.

Scelta tempo di campionamento T_s

- T_{ass} al 95% $\simeq 1.5 s$

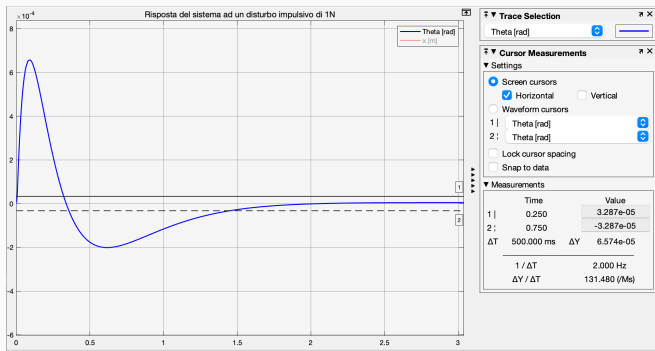


Figure 7: Risposta del sistema ad un impulso unitario

Una regola euristica per la scelta di T_s rispetto al tempo di assestamento è: $\frac{T_{ass}}{10\alpha} \leq T_s \leq \frac{T_{ass}}{\alpha}$ con $\alpha \in [5, 10]$.

Per $\alpha = 7$, si è scelto $T_s = 0.02 s$

Design of experiment: Definizione dell'ingresso

L'ingresso utilizzato per l'identificazione é un **segnale PRBS**:

$$u(t) = \bar{u} + \delta u \quad (1)$$

dove

$$\delta u(t) = PRBS \in [-1, 1], \quad N = 2047 \quad (2)$$

```
du = idinput(N,'prbs',[ ]);
```

L'asse dei tempi del PRBS è stato scelto come:

```
dt = 0.08 %[s];  
t_prbs = (0:dt:dt*N)';  
t_prbs(end) = [ ];
```

dove $dt = 4Ts = 0.08s$, per non specializzarsi troppo alle alte frequenze e per catturare anche dinamiche piu' veloci del polo dominante.

Design of experiment: Definizione dell'ingresso

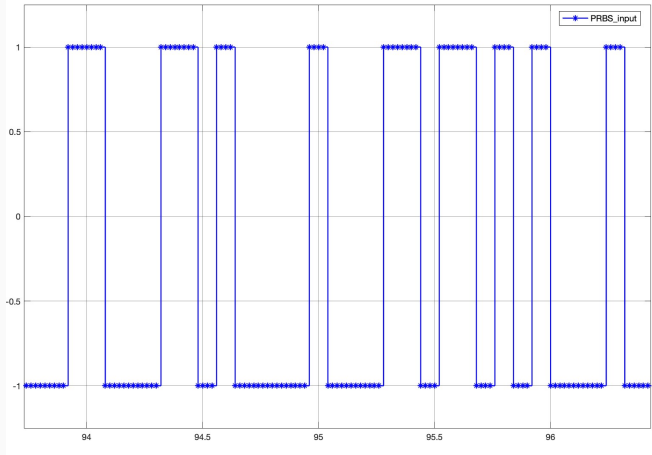


Figure 8: Segnale PRBS in ingresso al sistema

Design of experiment: sketch Simulink

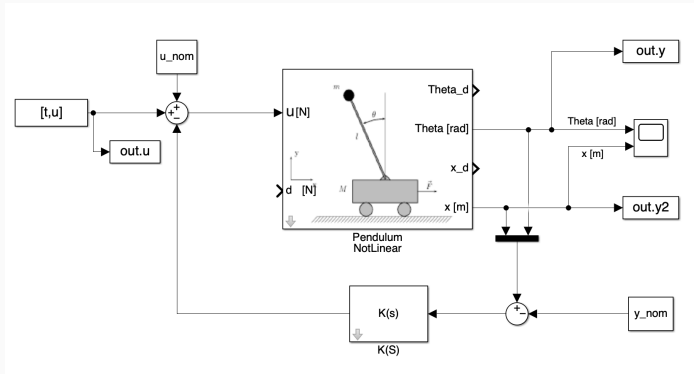


Figure 9: Schema simulink dell'esperimento

- blocco *From workspace* per prelevare i campioni dell'ingresso generati
- blocco *To workspace* per acquisire i campioni dell'uscita

Design of experiment: Acquisizione Dataset da $u \rightarrow \theta$

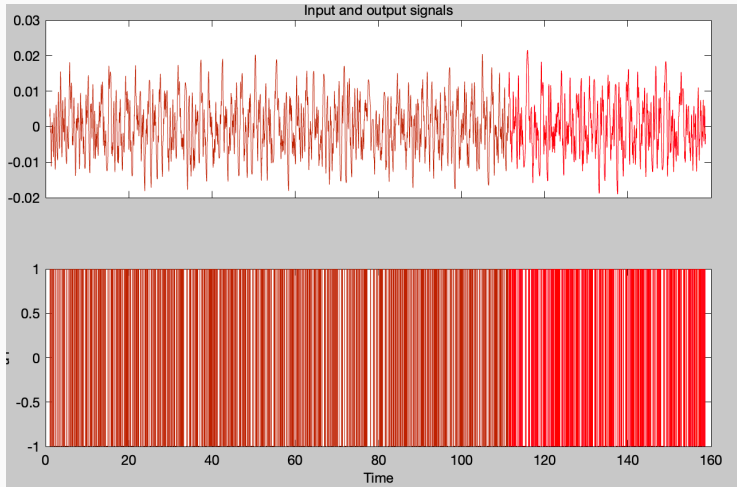


Figure 10: Segnali dall'ingresso u all'uscita θ

Design of experiment: Acquisizione Dataset da $u \rightarrow x$

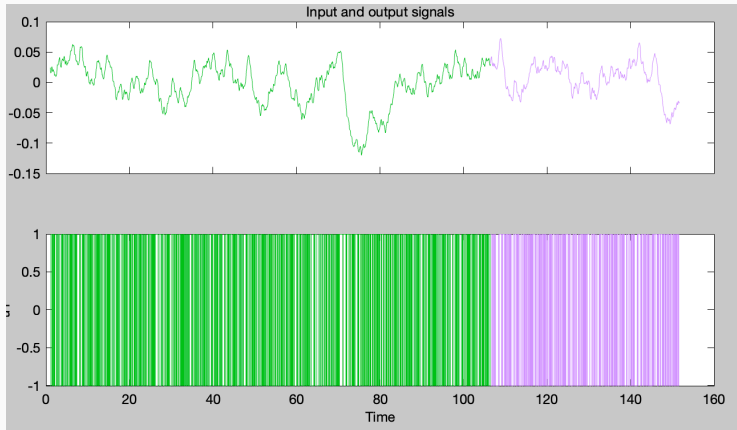


Figure 11: Segnali dall'ingresso u all'uscita x

Design of experiment: Acquisizione Dataset da $d \rightarrow \theta$

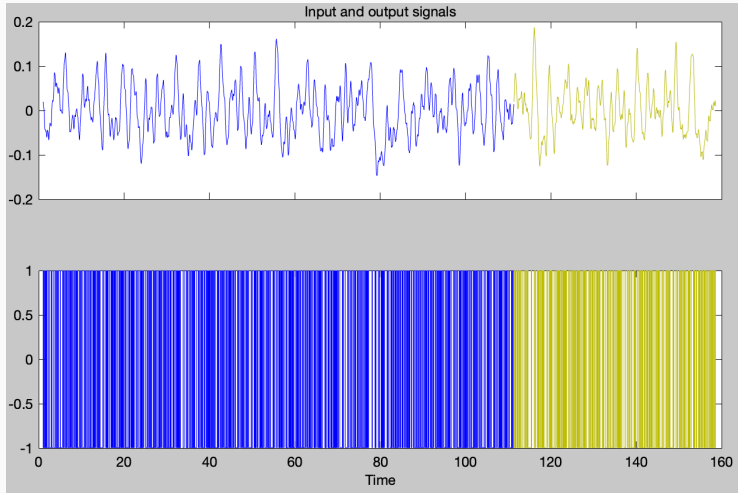


Figure 12: Segnali dall'ingresso d all'uscita θ

Design of experiment: Acquisizione Dataset da $d \rightarrow x$

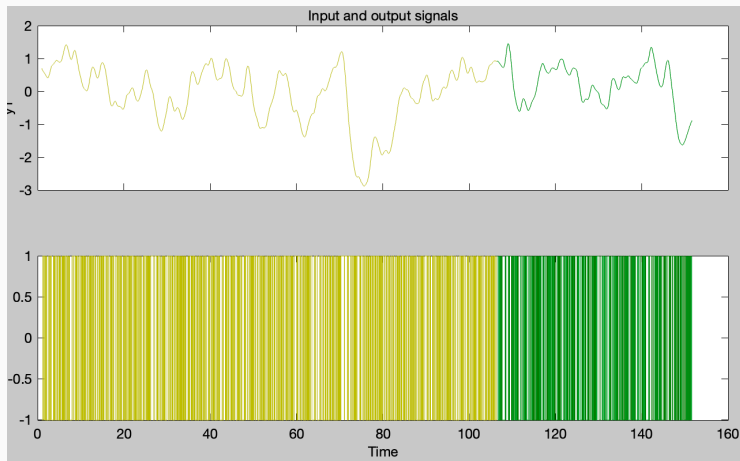


Figure 13: Segnali dall'ingresso d all'uscita x

Design of experiment: Pre-processing del dataset

- A ciascun dataset è stata **rimossa la media**
- Ciascun dataset è stato diviso in **working-set** (70%) e **validation-set** (30%)
- Vengono scartati i campioni per $t \leq T_{ass}$

```
u_out=u_out(t_out>t_ss);  
y_out=y_out(t_out>t_ss);  
t_out=t_out(t_out>t_ss);  
t_out=t_out-t_out(1);
```

La stima dei modelli viene effettuata con:

- Famiglie di Modelli Polinomiali: (ARX, ARMAX)
- Spazio di stato.

Identificazione: Modelli ARX

La famiglia di **modelli ARX** include modelli $M(\theta)$ con $\theta \in \Re$ descritti da:

$$y(t) = a_1 y(t-1) + a_2 y(t-2) + \dots + a_{n_a} y(t-n_a) + \\ + b_1 u(t-1) + b_2 u(t-2) + b_{n_b} u(t-n_b) + \xi(t)$$

$$\xi(t) \sim WN(0, \lambda^2), \quad E[\xi(t)] = 0$$

Il modello può essere riscritto in forma di Box-Jenkins:

$$A(z)y(t) = B(z)u(t) + \xi(t) \\ A(z) = 1 - a_1 z^{-1} - \dots - a_{n_a} z^{-n_a} \\ B(z) = 1 + b_1 z^{-1} + \dots + b_{n_b} z^{-n_b}$$

I **parametri di progetto** sono $[n_a, n_b, n_k]$

Identificazione: Modelli ARMAX

La famiglia di **modelli ARMAX** include modelli $M(\theta)$ con $\theta \in \Re$ descritti da:

$$\begin{aligned} y(t) = & a_1 y(t-1) + a_2 y(t-2) + \dots + a_{n_a} y(t-n_a) + \\ & + b_1 u(t-1) + b_2 u(t-2) + b_{n_b} u(t-n_b) + \\ & + \xi(t) + c_1 \xi(t-1) + \dots + c_{n_c} \xi(t-n_c) \end{aligned}$$

$$\xi(t) \sim WN(0, \lambda^2), \quad E[\xi(t)] = 0$$

Il modello può essere riscritto in forma di Box-Jenkins, dove :

$$G(z) = \frac{B(z)}{A(z)}, \quad W(z) = \frac{C(z)}{A(z)}$$

I **parametri di progetto** sono $[n_a, n_b, n_c, n_k]$

Identificazione: Criteri di valutazione dei modelli

Ricordiamo che il modello complessivo da identificare è

$$\begin{bmatrix} y_\theta \\ y_x \end{bmatrix} = \begin{bmatrix} G_{u\theta}(s) & G_{d\theta}(s) \\ G_{d\theta}(s) & G_{dx}(s) \end{bmatrix} \begin{bmatrix} u \\ d \end{bmatrix}$$

I criteri di valutazione dei modelli sono i seguenti:

- **Stabilità**
- **% Fit del modello sul Validation Set**
- **Test di Bianchezza al 90%** con N *campioni* = 20 della stima della funzione di autocorrelazione. (18 campioni su 20 devono ricadere nella fascia)

Table 1: Identificazione modello relazione $u \rightarrow \theta$

Ordine	% Test Bianch.	% Fit valid. set
ARX331	80%	99.6
ARX431	80%	99.6
ARMAX4342	95%	99.9

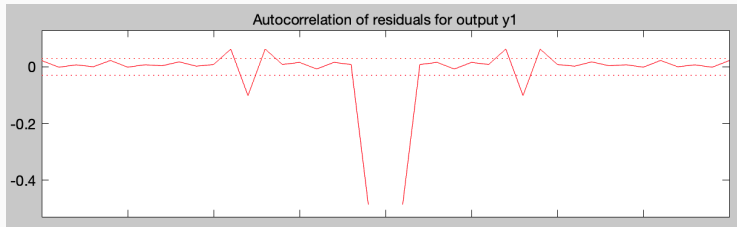


Figure 14: Test di Bianchezza di Anderson su 20 campioni di ARX(3,3,1)

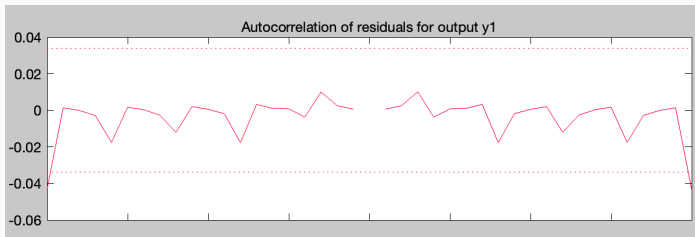


Figure 15: Test di Bianchezza di Anderson su 20 campioni di ARMAX(4,3,4,2)

Identificazione: Risultati Modelli $u \rightarrow \theta$

arx331 =

Discrete-time ARX model: $A(z)y(t) = B(z)u(t) + e(t)$

$A(z) = 1 - 2.592 (+/- 0.0002188) z^{-1} + 2.226 (+/- 0.0003724) z^{-2} - 0.6331 (+/- 0.0001645) z^{-3}$

$B(z) = 0.0003521 (+/- 5.722e-08) z^{-1} - 5.98e-05 (+/- 1.086e-07) z^{-2} - 0.0002951 (+/- 8.084e-08) z^{-3}$

Figure 16: Deviazione standard dei parametri ARX(3,3,1)

amx4342 =

Discrete-time ARMAX model: $A(z)y(t) = B(z)u(t) + C(z)e(t)$

$A(z) = 1 - 1.919 (+/- 0.004823) z^{-1} + 0.4872 (+/- 0.007843) z^{-2} + 0.8549 (+/- 0.00573) z^{-3} - 0.4212 (+/- 0.003533) z^{-4}$

$B(z) = 0.0005144 (+/- 1.076e-05) z^{-2} - 0.0003334 (+/- 6.722e-06) z^{-3} - 0.0001992 (+/- 5.652e-06) z^{-4}$

$C(z) = 1 + 0.04202 (+/- 0.03005) z^{-1} + 0.03498 (+/- 0.03016) z^{-2} + 0.03731 (+/- 0.03015) z^{-3} - 0.9557 (+/- 0.03003) z^{-4}$

Figure 17: Deviazione standard dei parametri ARMAX(4,3,4,2)

Identificazione: Risultati Modelli $u \rightarrow \theta$

Il modello scelto è ARMAX(4,3,4,2).

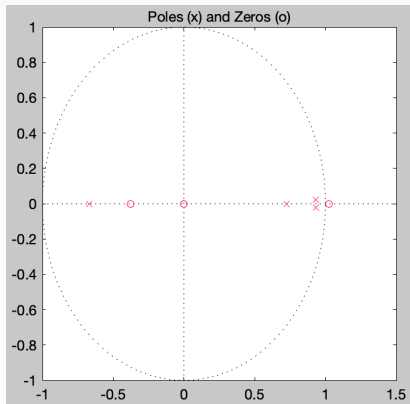


Figure 18: Mappa poli-zeri ARMAX(4,3,4,2)

- Il segnale *PRBS* in ingresso al sistema è stato modificato.
La $f_{min} = \frac{1}{dt}$ di quest'ultimo è stata aumentata data la dinamica più lenta del carrello.
- Sono stati scartati i campioni per $t \leq T_{ass}$ con $T_{ass_x} = 10s$,
tenendo conto sempre della dinamica più lenta del carrello.

Identificazione: Risultati Modelli $u \rightarrow x$

Table 2: Identificazione modello relazione $u \rightarrow x$

Ordine	% Test Bianch.	% Fit valid. set
ARX331	80%	99.8
ARX431	65%	99.7
ARMAX3211	80%	99.8

Il modello scelto è **ARX(3,3,1)**.

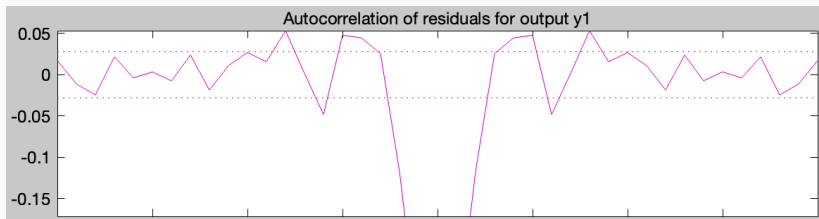


Figure 19: Test di Bianchezza di Anderson su 20 campioni

Identificazione: Risultati Modelli $u \rightarrow x$: ARX(3,3,1)

```
arx331 =
```

```
Discrete-time ARX model:  $A(z)y(t) = B(z)u(t) + e(t)$ 
```

```
 $A(z) = 1 - 2.676 (+/- 8.198e-05) z^{-1} + 2.368 (+/- 0.0001611) z^{-2} - 0.6925 (+/- 8.023e-05) z^{-3}$ 
```

```
 $B(z) = 0.0001804 (+/- 3.181e-08) z^{-1} - 4.82e-05 (+/- 4.522e-08) z^{-2} - 0.0001628 (+/- 3.504e-08) z^{-3}$ 
```

Figure 20: Deviazione standard dei parametri

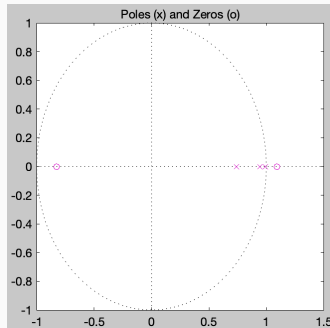


Figure 21: Grafico Poli-Zeri ARX(3,3,1)

Identificazione: Risultati Modelli $dF \rightarrow \theta$

Table 3: Identificazione modello relazione $dF \rightarrow \theta$

Ordine	% Test Bianch.	% Fit valid. set
ARX ₄₄₁	90%	99.6
ARX ₅₄₁	90%	99.6
ARMAX ₄₃₃₂	95%	99.9

Il modello scelto è **ARX(4,4,1)**.

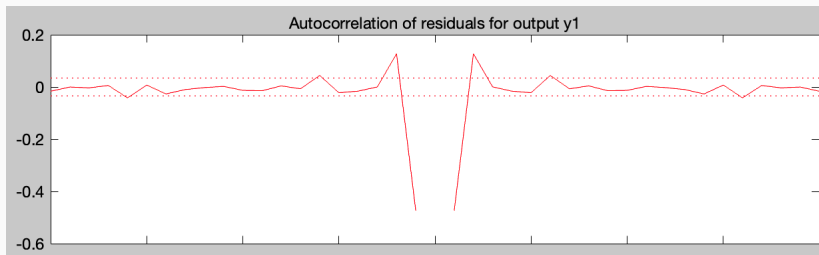


Figure 22: Test di Bianchezza di Anderson su 20 campioni

Identificazione: Risultati Modelli $dF \rightarrow \theta$: ARX(4,4,1)

```
arx441 =  
Discrete-time ARX model: A(z)y(t) = B(z)u(t) + e(t)  
A(z) = 1 - 3.499 (+/- 0.005135) z^-1 + 4.538 (+/- 0.01469) z^-2 - 2.579 (+/- 0.014) z^-3 + 0.5389 (+/- 0.004445) z^-4  
  
B(z) = 0.0003829 (+/- 1.378e-07) z^-1 - 0.0002988 (+/- 1.961e-06) z^-2 - 0.0003209 (+/- 3.565e-07) z^-3 + 0.0002312 (+  
/- 1.74e-06) z^-4
```

Figure 23: Deviazione standard dei parametri

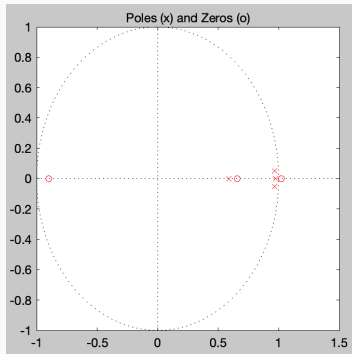


Figure 24: Grafico Poli-Zeri ARX(4,4,1)

Table 4: Identificazione modello relazione $dF \rightarrow x$

Ordine	% Test Bianch.	% Fit valid. set
ARX ₄₃₁	70%	99.8
ARMAX ₄₃₃₂	85%	99.9

Il modello scelto è **ARMAX(4,3,3,2)**.

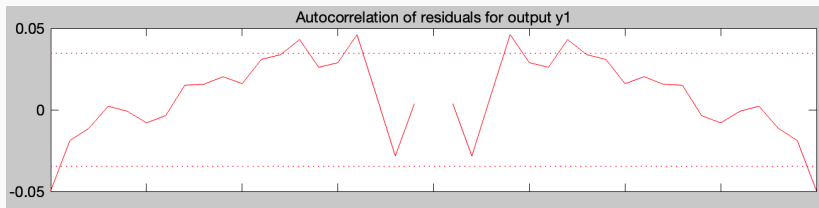


Figure 25: Test di Bianchezza di Anderson su 20 campioni

Identificazione: Risultati Modelli $dF \rightarrow x$: ARMAX(4,3,3,2)

```
amx4332 =  
Discrete-time ARMAX model: A(z)y(t) = B(z)u(t) + C(z)e(t)  
A(z) = 1 - 3.588 (+/- 0.01482) z^-1 + 4.778 (+/- 0.04364) z^-2 - 2.791 (+/- 0.04288) z^-3 + 0.6013 (+/- 0.01406) z^-4  
  
B(z) = -4.009e-05 (+/- 2.548e-07) z^-2 + 2.519e-05 (+/- 7.064e-07) z^-3 + 9.579e-06 (+/- 2.003e-07) z^-4  
  
C(z) = 1 + 0.9989 (+/- 0.003861) z^-1 + 0.9687 (+/- 0.005188) z^-2 + 0.9624 (+/- 0.003834) z^-3
```

Figure 26: Deviazione standard dei parametri

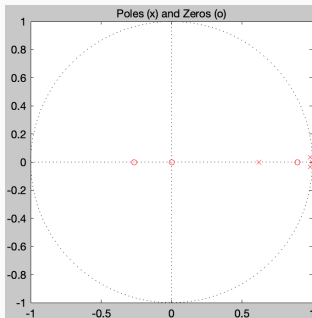


Figure 27: Grafico Poli-Zeri ARMAX(4,3,3,2)

$$\begin{aligned}x(t+1) &= Ax(t) + Bu(t) \\ y(t) &= Cx(t)\end{aligned}$$

Le matrici A , B , C , n_a sono i parametri da stimare, con n_a ordine del modello

- **Ordine del modello** è stato scelto dal diagramma dei valori singolari
- **Form**: Forma canonica di Osservabilità

Identificazione: Spazio di stato: Risultati

Ordine del modello $n_a = 5$

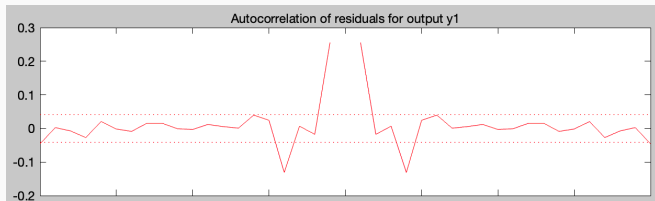


Figure 28: Test di Bianchezza di Anderson $u \rightarrow y$

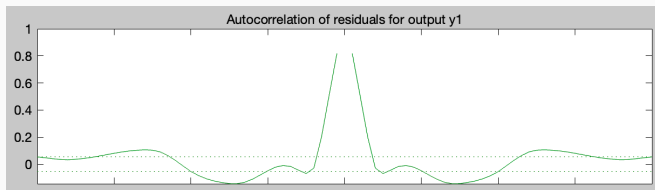


Figure 29: Test di Bianchezza di Anderson $d \rightarrow y$

Identificazione: Spazio di stato: Risultati

```
ss3 =  
Discrete-time identified state-space model:  
x(t+Ts) = A x(t) + B u(t) + K e(t)  
y(t) = C x(t) + D u(t) + e(t)  
  
A =  
          x1          x2          x3          x4          x5  
x1          0          1          0          0          0  
x2    -0.9902 +/- 0.0001121    1.99 +/- 0.0001126    0.5104 +/- 0.0001226    -1.038 +/- 0.0003934    0.5245 +/- 0.0002833  
x3          0          0          0          1          0  
x4          0          0          0          0          1  
x5    0.001865 +/- 0.0001397    -0.001885 +/- 0.0001404    0.6355 +/- 0.0001629    -2.234 +/- 0.0005027    2.597 +/- 0.0003572  
  
B =  
          u1  
x1    0.00018 +/- 3.271e-08  
x2    0.0004357 +/- 5.97e-08  
x3    0.00036 +/- 6.463e-08  
x4    0.0008744 +/- 1.186e-07  
x5    0.001161 +/- 1.679e-07  
  
C =  
    x1  x2  x3  x4  x5  
y1    1   0   0   0   0  
y2    0   0   1   0   0  
  
D =  
    u1  
y1    0  
y2    0  
  
K =  
          y1          y2  
x1    1.784 +/- 0.3428    -0.321 +/- 0.1717  
x2    0.9134 +/- 0.3997    0.1432 +/- 0.201  
x3    1.547 +/- 0.6797    0.373 +/- 0.3405  
x4   -0.6476 +/- 0.7952    1.538 +/- 0.3999  
x5   -1.626 +/- 0.9065    2.018 +/- 0.4566
```

Figure 30: Modello spazio di stato $u \rightarrow y$

Identificazione: Spazio di stato: Risultati

```
ss2 =  
Discrete-time identified state-space model:  
x(t+Ts) = A x(t) + B u(t) + K e(t)  
y(t) = C x(t) + D u(t) + e(t)  
  
A =  
      x1      x2      x3      x4      x5  
x1      0      1      0      0      0  
x2 -0.998 +/- 0.0001038 1.998 +/- 0.0001043 0.5576 +/- 0.002918 -1.126 +/- 0.006185 0.5648 +/- 0.003286  
x3      0      0      0      1      0  
x4      0      0      0      0      1  
x5 -0.001073 +/- 7.412e-05 0.001077 +/- 7.447e-05 0.8813 +/- 0.002049 -2.754 +/- 0.004348 2.872 +/- 0.002312  
  
B =  
      u1  
x1 3.463e-05 +/- 7.432e-07  
x2 -6.65e-05 +/- 6.702e-07  
x3 0.0004921 +/- 1.391e-06  
x4 0.001093 +/- 1.26e-06  
x5 0.00162 +/- 1.312e-06  
  
C =  
      x1 x2 x3 x4 x5  
y1 1 0 0 0 0  
y2 0 0 1 0 0  
  
D =  
      u1  
y1 0  
y2 0  
  
K =  
      y1      y2  
x1 0.6013 +/- 0.03726 -0.06726 +/- 0.02019  
x2 0.7353 +/- 0.03595 -0.103 +/- 0.01943  
x3 0.008301 +/- 0.07045 0.4945 +/- 0.03814  
x4 0.04293 +/- 0.06758 0.5629 +/- 0.03658  
x5 0.09023 +/- 0.06975 0.6224 +/- 0.03767
```

Figure 31: Modello spazio di stato $d \rightarrow y$

Identificazione: Spazio di stato: Risultati

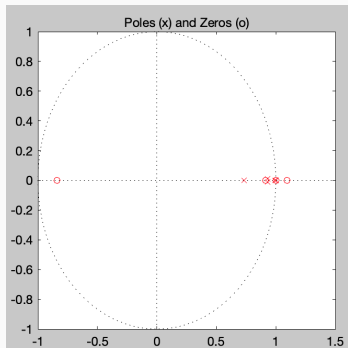


Figure 32: Mappa poli-zeri $u \rightarrow y$

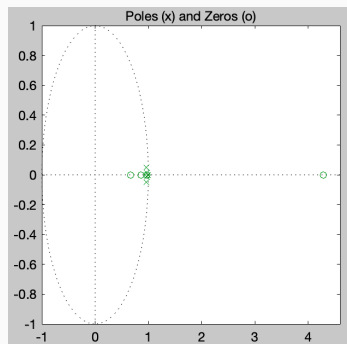


Figure 33: Mappa poli-zeri $d \rightarrow y$

Sono stati scelti i seguenti modelli identificati:

- $u \rightarrow \theta : ARMAX(4, 3, 4, 2)$
- $u \rightarrow x : ARX(3, 3, 1)$
- $d \rightarrow \theta : ARX(4, 4, 1)$
- $d \rightarrow x : ARMAX(4, 3, 3, 2)$

Identificazione: Test del modello identificato

E' stato applicato un impulso di $1N$ sul carrello a $t = 1s$

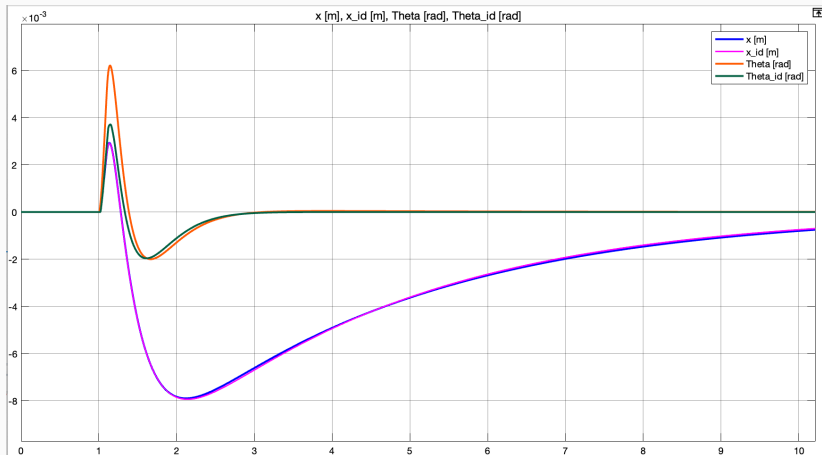
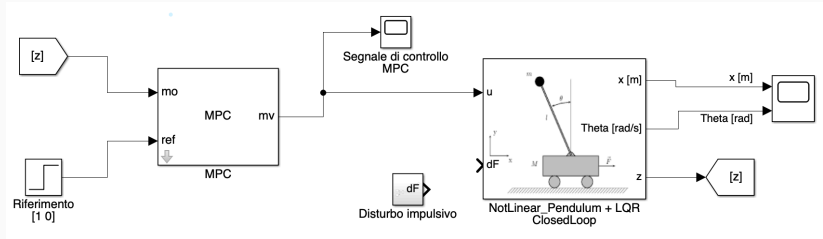


Figure 34: Confronto tra modello identificato e sistema linearizzato a ciclo chiuso

Identificazione: Test del modello identificato

Come ulteriore test del modello individuato, è stato utilizzato il modello identificato come modello interno di un controllore MPC



Identificazione: Test del modello

- riferimento 'r': gradino unitario per il carrello
- disturbo 'd': impulso unitario a $t = 8$ s

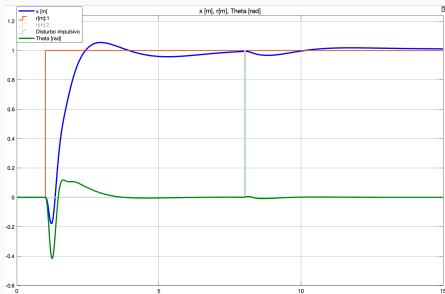


Figure 35: MPC sul sistema a ciclo chiuso identificato

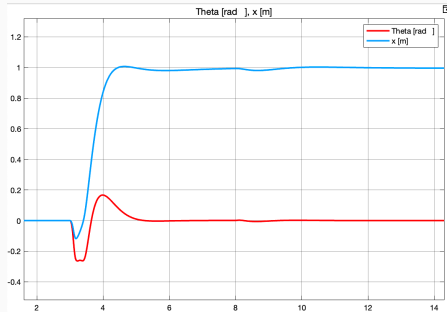


Figure 36: MPC sul sistema a ciclo chiuso linearizzato

MPC

Inseguire un riferimento T

rispettando i vincoli:

- vincolo sulla forza F applicabile: $-200 \leq F \leq 200$
- vincolo su ΔF applicabile : $-10 \leq \Delta F \leq 10$
- vincolo sulla posizione del carrello x : $-10 \leq x \leq 10$
- vincolo sullo spostamento del pendolo θ : $-0.26 \leq \theta \leq 0.26$

Struttura MPC da Command Line

- Il modello interno del controllore MPC è il sistema a ciclo chiuso linearizzato intorno al punto di equilibrio stabilizzato (definito precedentemente)

E' necessario definire le tipologie di segnali per il controllo MPC:

- Manipulated Variables (MV): ingresso di controllo u
- Measured Disturbance (MD): 0
- Unmeasured Disturbance in input (UD): disturbo sul pendolo dF
- Measured Outputs (UO): posizione carrello x , angolo pendolo θ

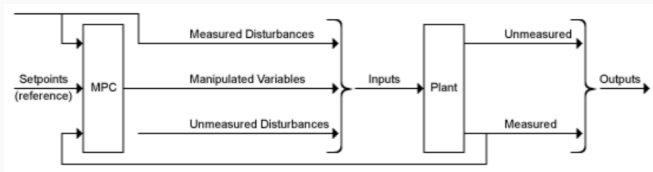


Figure 37: Struttura controllo MPC

Il **tempo di campionamento** T_s del controllore e del processo é stato scelto pari a:

$$T_s = 0.02s$$

Gli **orizzonti di predizione** H_p e di **controllo** H_u sono stati scelti rispettivamente pari a:

$$H_p = 40$$

$$H_u = 5$$

É stato definito un **fattore di scalatura sull'ingresso di controllo** u , in quanto assume valori in norma molto diversi rispetto alle uscite.

$$scale\ factor = 100$$

I valori delle matrici $Q(i)$ ed $R(i)$ che compongono Q e R non vengono cambiati lungo tutto l'orizzonte di predizione. I valori scelti per i pesi sono:

$$Weight_u = 1$$

$$Weight_{\Delta u} = 1$$

$$Weight_z = [1.2 \quad 1]$$

Sono stati settati i valori $ECR \neq 0$ per rendere *soft* il vincolo sul *displacement* del pendolo

$$MinECR_{y_\theta} = 0.2$$

$$MaxECR_{y_\theta} = 0.2 \text{ (Small violation allowed)}$$

$$Weight_{ECR} = 100000$$

MPC da Command Line: snippet di codice

```
mpc1 = mpc(F_k, 0.02); %defining mpc object

mpc1.PredictionHorizon = 40;
mpc1.ControlHorizon = 5;
mpc1.MV(1).ScaleFactor = 100;

%costrains
mpc1.MV(1).Min = -200;
mpc1.MV(1).Max = 200;
mpc1.MV(1).RateMin = -10;
mpc1.MV(1).RateMax = 10;
mpc1.OV(1).Min = -10;
mpc1.OV(1).Max = 10;
mpc1.OV(2).Min = -0.26;
mpc1.OV(2).Max = 0.26;
```

MPC da Command Line: Simulazione

La simulazione è stata effettuata sul **sistema non lineare stabilizzato intorno al punto di equilibrio**.

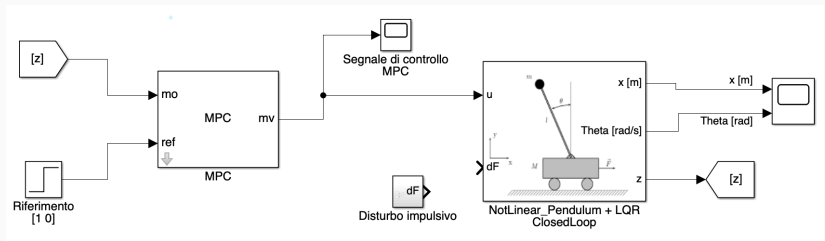


Figure 38: Schema di controllo

MPC da Command Line: Simulazione

Scenario 1:

$\left\{ \begin{array}{l} \text{riferimento sulla posizione del carrello : step di } 2[m] \\ \text{Disturbo impulsivo } d = 4N \text{ a } t = 6s \end{array} \right.$

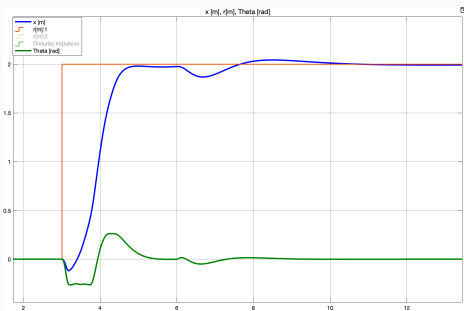


Figure 39: Risposta del sistema

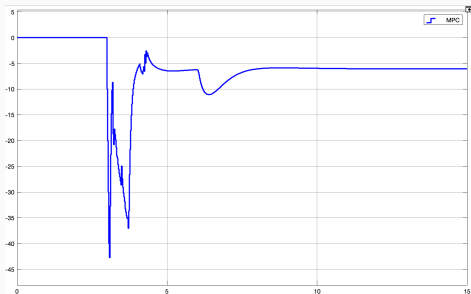


Figure 40: Segnale di controllo

Scenario 2:

$$\begin{cases} \text{Riferimento di posizione per il carrello } rif[m] : x_f = 3[m] \\ \text{Disturbo impulsivo } d = 2N \text{ a } t = 12s \end{cases}$$

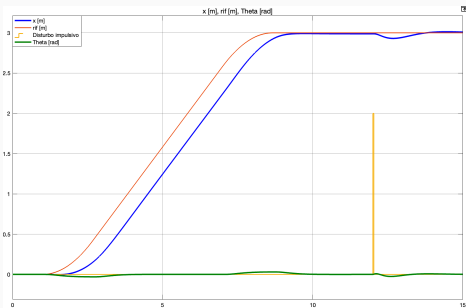


Figure 41: Risposta del sistema

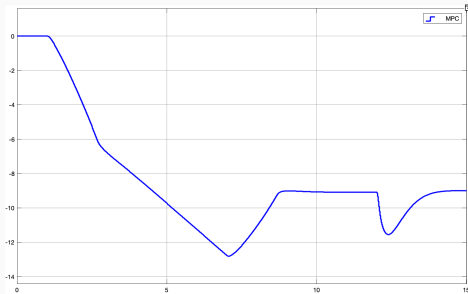


Figure 42: Segnale di controllo

Implementazione MPC

Si consideri come *modello interno* del controllore il **modello linearizzato** ricavato in precedenza a tempo discreto.

$$x(k+1) = Ax(k) + Bu(k) \quad x \in \mathbb{R}^n \quad u \in \mathbb{R}^l$$

$$y(k) = C_y x(k) \quad y \in \mathbb{R}^{m_y}$$

$$z(k) = C_z x(k) \quad z \in \mathbb{R}^{m_z}$$

Implementazione MPC non vincolato: Definizione problema

Si vuole implementare la risoluzione del problema di controllo predittivo:

$$\min_{\Delta \hat{u}(k|k), \dots, \Delta \hat{u}(k+H_u-1|k)} \sum_{i=H_w}^{H_p} \|\hat{z}(k+i|k) - r(k+i|k)\|_{Q(i)}^2 + \\ + \sum_{i=0}^{H_u-1} \|\Delta \hat{u}(k+i|k)\|_{R(i)}^2$$

In forma matriciale:

$$\left\| \hat{Z}(k) - T(k) \right\|_Q^2 + \|\Delta U(k)\|_R^2$$

Dove le **predizioni dell'uscita d'interesse** $\hat{Z}(k)$ sono:

$$\begin{aligned} \hat{Z}(k) &= C_z \hat{X}(k) = C_z \Psi_x x(k) + C_z \gamma_x u(k-1) + C_z \Theta_x \Delta U(k) = \\ &= \Psi x(k) + \Upsilon u(k-1) + \Theta \Delta U(k). \end{aligned}$$

Implementazione MPC non vincolato: Soluzione problema

Sia il tracking error $\varepsilon(k)$:

$$\varepsilon(k) = T(k) - \Psi x(k) - \Upsilon u(k-1)$$

La soluzione al problema ai minimi quadrati $\Delta U_{opt}(k)$:

$$\Delta \mathcal{U}(k)_{opt} = \begin{bmatrix} S_Q \\ S_R \end{bmatrix} \Theta \setminus \begin{bmatrix} S_Q \varepsilon(k) \\ 0 \end{bmatrix}$$

da cui:

$$K_{full} = \begin{bmatrix} S_Q \\ S_R \end{bmatrix} \Theta \setminus \begin{bmatrix} S_Q \\ 0 \end{bmatrix}$$

$$K_{MPC} = K_{full}(1, :)$$

Implementazione MPC non vincolato: schema di controllo

Sono state opportunamente calcolate le matrici $[\Psi, \Theta, \Upsilon, S_Q, S_R]$ nel file *mpc_without_constr.m*

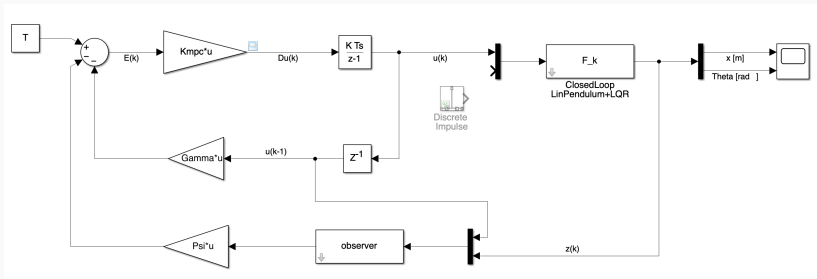


Figure 43: Schema di controllo MPC implementato: sistema linearizzato

Codice Matlab

```
Kfull = [Sq*TH ; Sr] \ [Sq ; zeros(Hu,length(Sq))];  
Kmpc = Kfull(1,:);
```

Implementazione MPC non vincolato: parametri

- Orizzonte di predizione $H_p = 200$
- Orizzonte di controllo $H_u = 5$
- Orizzonte di ritardo $H_w = 1$
- $C_z = [1 \ 0 \ 0 \ 0 ; 0 \ 1 \ 0 \ 0]$
- ```
Qi = [5 0 ; 0 2];
Q = kron(eye(Hp),Qi);
Q(1:2 , 1:2) = [500 0 ; 0 2];
Q(3:4 , 3:4) = [500 0 ; 0 2];
Q(5:6 , 5:6) = [500 0 ; 0 2];
```
- ```
Ri = 1;
R = kron(eye(Hu),Ri);
R(1,1) = 0.01;
R(2,2) = 0.1;
R(3,3) = 0.5;
```

Implementazione MPC non vincolato: Simulazione

Scenario:

{ *referimento sulla posizione del carrello di tipo gradino $r[m]$*

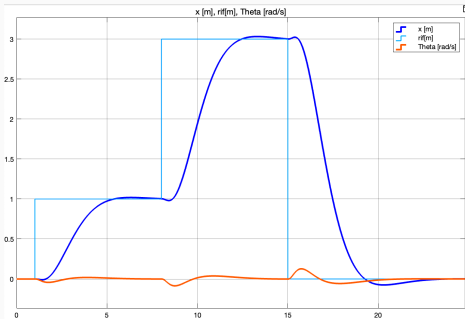


Figure 44: Risposta del sistema

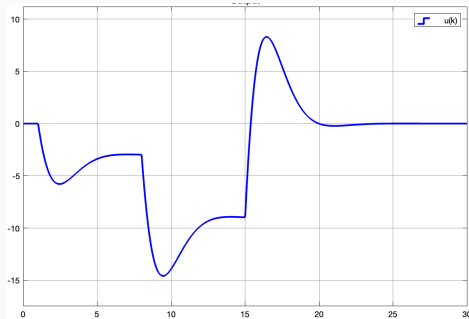


Figure 45: Segnale di controllo

Problema di ottimizzazione vincolato:

$$\min_{\Delta \mathcal{U}(k)} \quad \Delta \mathcal{U}(k)^T \mathcal{H} \Delta \mathcal{U}(k) - \mathcal{G}^T \Delta \mathcal{U}(k)$$

s.t.

$$\begin{bmatrix} \mathbb{F} \\ \Gamma \Theta \\ W \end{bmatrix} \Delta \mathcal{U}(k) \leq \begin{bmatrix} -\mathbb{F}_1 u(k-1) - f \\ -\Gamma[\Psi x(k) + \gamma u(k-1)] - g \\ -w \end{bmatrix}$$

dove : $\mathcal{H} = \Theta^T Q \Theta + R$, $\mathcal{G} = -2\Theta^T Q$

Implementazione MPC vincolato: matrici dei vincoli

Le matrici $[E, F, G]$ sono le matrici dei vincoli:

$$\begin{aligned} F' &= \begin{bmatrix} -\frac{1}{u_{\min}} \\ \frac{1}{u_{\max}} \end{bmatrix} \\ F &= \begin{bmatrix} F' & 0 & \cdots & -1 \\ 0 & F' & \cdots & -1 \\ \vdots & \vdots & \ddots & \vdots \\ 0 & \cdots & F' & -1 \end{bmatrix} \\ E' &= \begin{bmatrix} -\frac{1}{\Delta u_{\min}} \\ \frac{1}{\Delta u_{\max}} \end{bmatrix} \\ E &= F \end{aligned}$$
$$\begin{aligned} G' &= \begin{bmatrix} -\frac{1}{x_{1\min}} & 0 \\ \frac{1}{x_{1\max}} & 0 \\ 0 & -\frac{1}{x_{3\min}} \\ 0 & \frac{1}{x_{3\max}} \end{bmatrix} \\ G &= \begin{bmatrix} G' & 0 & \cdots & -1 \\ 0 & G' & \cdots & -1 \\ \vdots & \vdots & \ddots & \vdots \\ 0 & \cdots & G' & -1 \end{bmatrix} \end{aligned}$$

Le matrici $[\Gamma, \mathbb{F}, W]$ sono ottenute dalle matrici $[E, F, G]$.

Il calcolo di queste è riportato nel file *constr_matrix.m*

Implementazione MPC vincolato: Introduzione Slack Variable

Ad ogni iterazione si deve risolvere il problema di *Quadratic Programming* (QP).

Con il problema di ottimizzazione formulato in questo modo, l'algoritmo per la risoluzione di problemi QP produce il messaggio: *'Infeasible problem'*.

Soluzione: **'rilassamento' dei vincoli**

$$\min_{\Delta \mathcal{U}(k)} \quad \Delta \mathcal{U}(k)^T \mathcal{H} \Delta \mathcal{U}(k) - \mathcal{G}^T \Delta \mathcal{U}(k) + \rho \|\epsilon\|^2$$

s.t.

$$\begin{bmatrix} \mathbb{F} \\ \Gamma \Theta \\ W \end{bmatrix} \Delta \mathcal{U}(k) \leq \begin{bmatrix} -\mathbb{F}_1 u(k-1) - f \\ -\Gamma[\Psi x(k) + \gamma u(k-1)] - g \\ -w \end{bmatrix} + \epsilon \quad \rho \gg 0$$
$$\epsilon \geq 0$$

Implementazione MPC vincolato: Introduzione Slack Variable

- Con ρ molto grande, diventa un problema **hard constrained**

Con questa formulazione il problema QP diventa:

$$\min_{[\theta, s]} \frac{1}{2} \begin{bmatrix} \Delta \mathcal{U} \\ \epsilon \end{bmatrix}^T \begin{bmatrix} 2\mathcal{H} & 0 \\ 0 & \rho \cdot I \end{bmatrix} \begin{bmatrix} \Delta \mathcal{U} \\ \epsilon \end{bmatrix} + \begin{bmatrix} -\mathcal{G} \\ 0 \end{bmatrix}^T \begin{bmatrix} \Delta \mathcal{U} \\ \epsilon \end{bmatrix}$$

s.t

$$\begin{bmatrix} A_{vinc} & -I \\ 0 & -I \end{bmatrix} \begin{bmatrix} \Delta \mathcal{U} \\ \epsilon \end{bmatrix} \leq \begin{bmatrix} b_{vinc} \\ 0 \end{bmatrix}.$$

dove:

$$A_{vinc} = \begin{bmatrix} \mathbb{F} \\ \Gamma \Theta \\ W \end{bmatrix} \quad b_{vinc} = \begin{bmatrix} -\mathbb{F}_1 u(k-1) - f \\ -\Gamma[\Psi x(k) + \gamma u(k-1)] - g \\ -w \end{bmatrix}$$

Il problema QP è stato risolto ad ogni iterazione tramite la funzione *MatLab 'mpcActiveSetSolver'*

Implementazione MPC vincolato: parametri

- $H_p = 200$, $H_u = 5$, $H_w = 1$
- $Q_{(i)} = \begin{bmatrix} 5 \cdot 10^5 & 0 \\ 0 & 1 \cdot 10^3 \end{bmatrix}$, $R_{(i)} = 1$
- $\rho = 10^5$

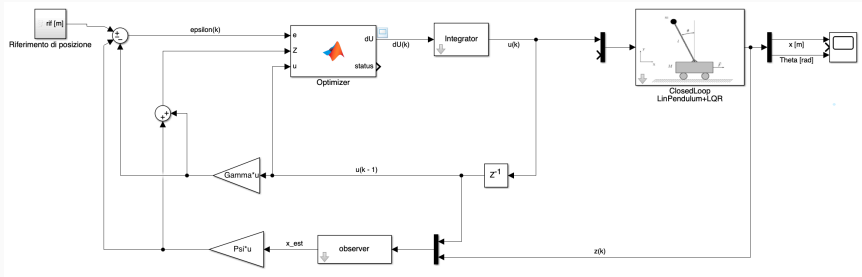


Figure 46: Schema di controllo: sistema linearizzato

Implementazione MPC vincolato: Simulazione

Scenario:

$\left\{ \begin{array}{l} \text{Riferimento di posizione per il carrello } rif[m] : x_f = 3[m] \end{array} \right.$

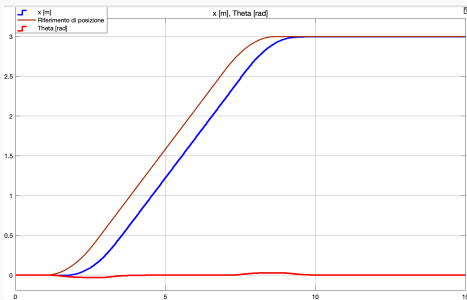


Figure 47: Risposta del sistema

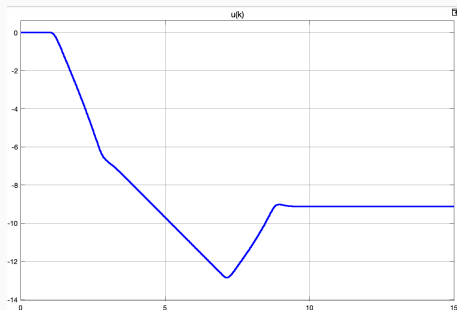


Figure 48: Segnale di controllo

Implementazione MPC vincolato: Simulazione sul sistema Non Lineare

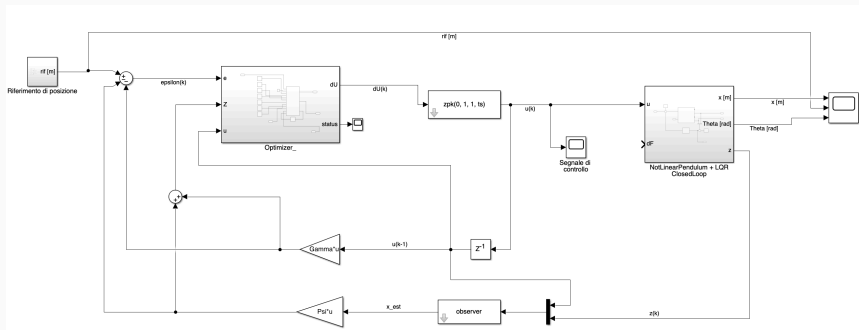


Figure 49: Schema di controllo: sistema Non Lineare

Implementazione MPC vincolato: Simulazione sul sistema Non Lineare

Scenario:

{ *Riferimento di posizione per il carrello $rif[m] : x_f = 3[m]$*

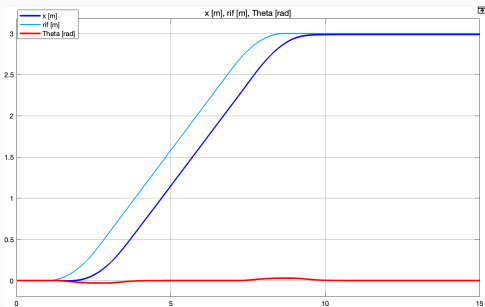


Figure 50: Risposta del sistema

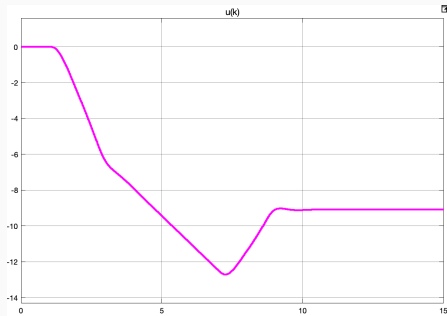


Figure 51: Segnale di controllo: sistema Non Lineare